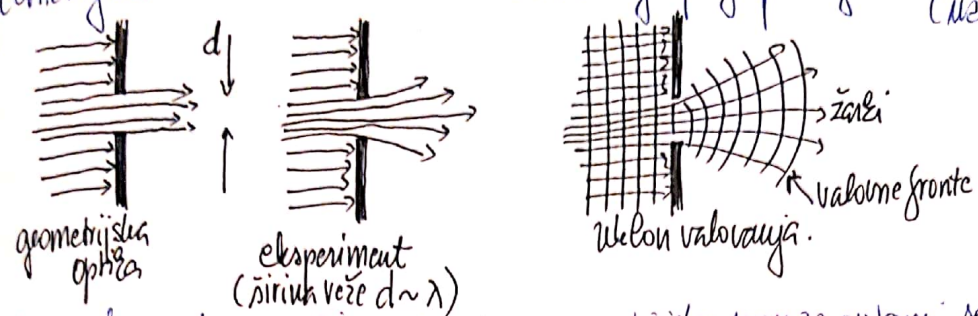


# UKLON SVETLOBE (SKALARNA TEORIJA UKLONA)

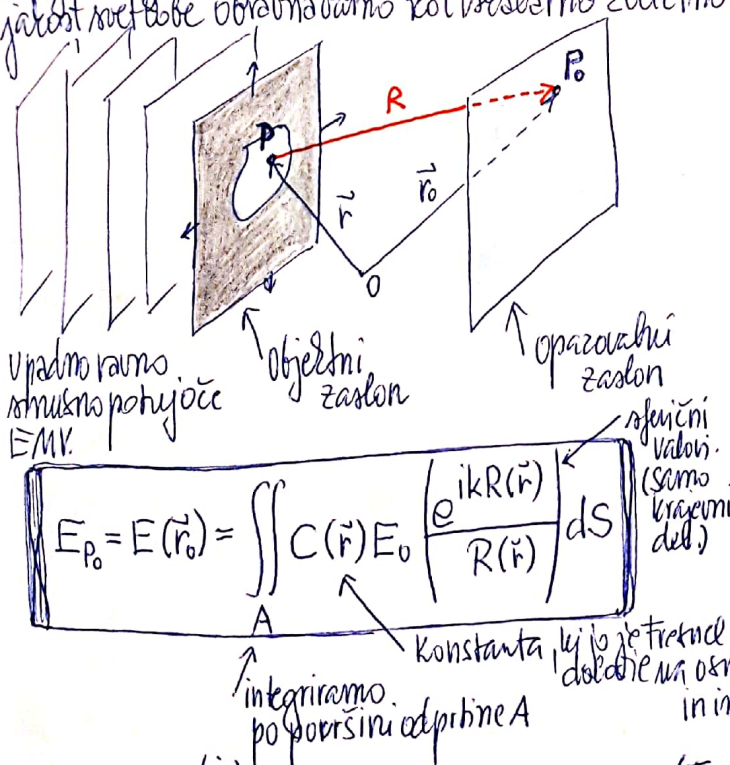
Kadar se svetloba širi skozi odprtine ali mimo ovir, ki imajo dimenzije podobnega reda, kot je valovna dolžina svetlobe ( $d \sim \lambda$ ), opazimo enake ali drugače značilnih valovnih pojavov = uklon. Geometrijski optiki pričaujemo, da se žarki svetlobe ne morejo širiti na območje geometrijske sence za oviro. Tovrstno obnašanje pa je podrejeni stvarni značilno za valovanje (na primer na vodni gladini)



Poleg tega, da se valovanje širi na območje geometrijske sence za ovirami, se v njem pojavijo tudi ojačitve in oslavitve, oz. pri svetlobi temne in svetle linije. Le-te so posledica interference.

## HUYGENS-FRESNELOV UKLONSKI INTEGRAL

Okoli leta 1816 je Fresnel (Augustin-Jean Fresnel, franc., F) združil Huyensov princip opisa širjenja svetlobe s sekundarnimi sferičnimi valovi (Christiaan Huyens, nizl., NL) in Youngov opis interference na dveh režah (Thomas Young, GB) v t.i. Huygens-Fresnelovo uklonsko teorijo. V tej teoriji zanemarimo polarizacijo oz. vektorsko naravo polja in električno poljsko jakost svetlobe obravnavamo kot skalarno žolčimo  $E(\vec{r}, t)$ .



$$E_{P_0} = E(\vec{r}_0) = \iint_A C(\vec{r}) E_0 \left( \frac{e^{ikR(\vec{r})}}{R(\vec{r})} \right) dS$$

Labels: 'sferični valovi (samo krajšni del)', 'Konstanta, ki jo je Fresnel dobil na osnovi eksperimentov', 'integriramo po površini odprtine A'.

$$C(\vec{r}) \approx \left( \frac{i}{\lambda} \right)$$

Zanimiva nas vrednost polja v točki  $P_0$  na opazovalnem zaslonu, do katere vodi vektor  $\vec{r}_0$  in odvisnosti od vrednosti polja v točki P na objektnem zaslonu, do katere vodi vektor  $\vec{r}$ . Po Huygensovem principu iz točke P izhajajo sferični valovanje, katerega amplituda določa vpadno polje, ki pada na objektni zaslon. Če je vpadno polje ravno valovanje, velja  $E(\vec{r}) = E_0 \forall \vec{r}$ . Priporočke vseh sekundarnih polj moramo sestiti po vseh točkah objektnega zaslona (princip superpozicije  $\Rightarrow$  interferenca).

in ima vrednost  $\left[ \left( \frac{i}{\lambda} \right) \cdot \chi(\vec{r}) \right]$  pričemeritna smeri faktor večinske vrednosti  $\chi \approx 1$  (Ta faktor oz. vrednost  $C(\vec{r})$  je teoretično izpeljal Kirchhoff leta 1882)

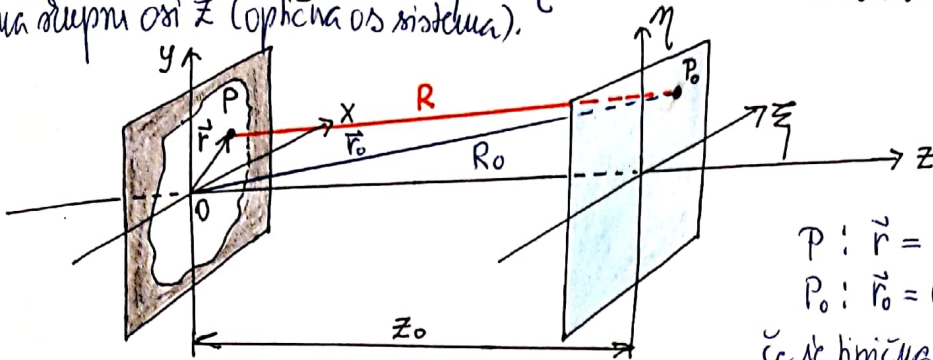
Namerno, da integriramo sekundarno polje samo na območju odprtine A, lahko vpeljemo t.i. aperturno funkcijo  $f(\vec{r})$ , ki ima vrednost 1 tam kjer je odprtina, in vrednost 0 sicer. Potem lahko integriramo po celotni 2D ploskvi, ki ustreza objektnemu zaslonu. Pri tem ni nujno, da je objektni zaslon samo prozoren ali neprozoren, lahko tudi delno prepušča svetlobo... Polje v ravnini objektnega zaslona potem zapišemo:

$$E(\vec{r}) = f(\vec{r}) \cdot E_0$$

APERTURNA FUNKCIJA  $f(\vec{r})$



Objektno ravnino opišemo kot ravnino s koordinatama  $x, y$ ; opazovalno ravnino pa kot ravnino s koordinatama  $\xi, \eta$ . Izhodišči obeh koordinatnih sistemov pa ležita na skupni osi  $z$  (optična os sistema). (24)



$$P: \vec{r} = (x, y, 0)$$

$$P_0: \vec{r}_0 = (\xi, \eta, z_0)$$

če je hričica, razdalja reže  $d \ll z_0$ ,  
velja da je  $C(\vec{r}) = \text{konst} \approx 1/\lambda$

$$E(\xi, \eta, z_0) = \frac{i}{\lambda} \iint_{-\infty}^{\infty} f(x, y) E_0 \left( \frac{e^{ikR}}{R} \right) dx dy$$

V izrazu za krogelne valove nastopa razdalja  $R$  med točko  $P$  in  $P_0$ , za katero velja

$$R^2 = (\xi - x)^2 + (\eta - y)^2 + z_0^2 \Rightarrow R = \sqrt{(\xi - x)^2 + (\eta - y)^2 + z_0^2}$$

V odvisnosti od tega, kako natančno obravnavamo izraz za  $R = R(x, y, \xi, \eta, z_0)$  v valonskem integralu, razlikujemo med različnimi valonskimi približji. Najbolj znana približka sta Fraunhoferjev (Joseph Ritter von Fraunhofer, 1788-1826) in Fresnelov približek.

### FRAUNHOFERJEV UKLON

V tem približju vzoraj zapisanem integralu upoštevamo le linearne člene, kar je krep-  
vičeno, če velja, da lahko okoli člene pri razvoju kvadratnega člena rešimo ali manj zane-  
marimo!

$$R = \sqrt{(\xi - x)^2 + (\eta - y)^2 + z_0^2} = \sqrt{\xi^2 + \eta^2 + z_0^2 - 2\xi x - 2\eta y + x^2 + y^2} = \sqrt{R_0^2 \left( 1 - \frac{2\xi x}{R_0^2} - \frac{2\eta y}{R_0^2} + \frac{x^2 + y^2}{R_0^2} \right)}$$

$$\approx R_0 - \frac{\xi x}{R_0} - \frac{\eta y}{R_0} + \frac{x^2 + y^2}{2R_0} + \dots$$

Ustrezni člen, ki opisuje sferične monokromatske valove, potem zapravimo

V Fraunhoferjevem uklonu upoštevamo le te člene

Zanemarili smo vse člene višjega reda!

Fresnelov uklon

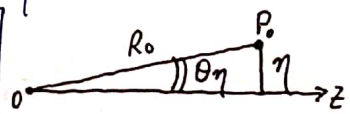
$$\left( \frac{e^{ikR}}{R} \right) \approx \frac{e^{ikR_0} e^{-ik\frac{\xi x}{R_0}} e^{-ik\frac{\eta y}{R_0}}}{R_0}$$

$$\sqrt{1+x} = 1 + \frac{1}{2}x - \frac{1}{8}x^2 + \frac{1}{16}x^3 \dots$$

Člen v imenovalcu se dobi počasneje spreminja kot v števcu (leži je pomnožen s  $k$  z faktorjem  $k$ ). Zato tam odvisnost od  $x, y, \xi$  in  $\eta$  povsem zanemarimo.

Vpeljemo še t.i. smerne oz. valonske čle:  $\sin \theta_\xi \approx \theta_\xi = \frac{\xi}{R_0}$  in  $\sin \theta_\eta \approx \theta_\eta = \frac{\eta}{R_0}$  in  
z njimi povezane prostorske frekvence  $\omega_\xi = k \cdot \theta_\xi$  in  $\omega_\eta = k \cdot \theta_\eta \Rightarrow$

$$E(\omega_\xi, \omega_\eta) = \left( \frac{i}{\lambda} \right) \frac{e^{ikR_0}}{R_0} E_0 \iint_{-\infty}^{\infty} f(x, y) e^{-i\omega_\xi x} e^{-i\omega_\eta y} dx dy$$



pogosto priberemo  $R_0 \approx z_0$

Uklonska slika nekakega objekta je v Fraunhoferjevem približju enaka 2D Fourierovi transformirani aparturni funkciji tega objekta!



# FRESNELOVO ŠTEVILO

(25)

Zanimajmo se, kdaj naredeni približek lahko uporabimo "v praksi". Spomnimo se, v razvoju izraza za  $R$  smo zanemarili člen  $(x^2+y^2)/2R_0$ . Ta člen v izrazu za spenične valove nastopa v členu  $e^{ik(x^2+y^2)/2R_0}$  in torej prinaša ne dodaten fazni zamik. Če naj bo res zanemarljiv, mora veljati:

$$\frac{k(x^2+y^2)}{2R_0} \ll 2\pi \quad \forall x, y$$

$$\frac{k \cdot d^2}{2R_0} \ll 2\pi$$

$$\frac{2\pi}{\lambda} \cdot \frac{d^2}{2R_0} \ll 2\pi \Rightarrow$$

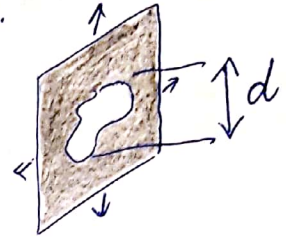
$$F = \frac{d^2}{\lambda R_0} \ll 1$$

Fresnelovo število

$$\Rightarrow R_0 \gg (d^2/\lambda)$$

Tipične vrednosti:  $R_0 \approx z_0$  morajo biti dosti večje od dimenzij odprtine, zato Fraunhoferjevemu približku rečemo tudi PRIBLIŽEK DALJNJEGA POLJA.

Pričakujemo da je  $(x^2+y^2)_{\max} = d^2$  pri čemer  $d$  meri tipično razsežnost odprtine v objektivnem zaskonu.

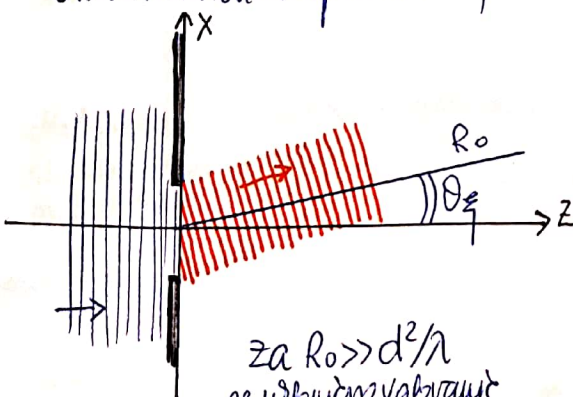


Primeri:  $\lambda = 500 \text{ nm} = 5 \cdot 10^{-7} \text{ m} \Rightarrow$

$d = 1 \mu\text{m} \Rightarrow R \gg \frac{10^{-12}}{5 \cdot 10^{-7}} \text{ m} = 2 \cdot 10^{-6} \text{ m} = 2 \mu\text{m}$ ,  $d = 10 \mu\text{m} \Rightarrow R \gg 200 \mu\text{m}$ ,  $d = 100 \mu\text{m} \Rightarrow R \gg 2 \text{ cm}$

$d = 1 \text{ mm} \Rightarrow R \gg 2 \text{ m}$  (eksperiment)

Preden se lotimo obravnave izbranih primerov, si ogledajmo še indikativno približnost Fraunhoferjevega približka. Če si zamislimo enodimenzionalni premer reza, ki se razteza v smeri osi  $x$ :



za  $R_0 \gg d^2/\lambda$  se uveljavijo valovne manifestacije kot del ravnih valov. Če opazujemo, lahko vrednost  $\Delta\phi(x)$  imamo valovni, ki potuje v smeri  $\theta_x \approx (x/R_0)$  glede na os  $z$ , vidimo da velja:

Fazni zamik / nezdružljivost valov, ki izvirajo z območja reze se spreminja kot

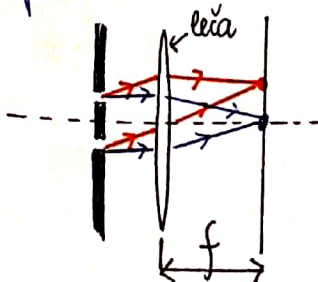
$$\Delta\phi = \frac{kx^2}{2R_0}$$

Če opazujemo, lahko vrednost  $\Delta\phi(x)$  imamo valovni, ki potuje v smeri  $\theta_x \approx (x/R_0)$  glede na os  $z$ , vidimo da velja:

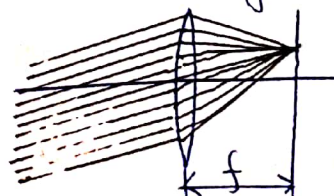
$$\Delta\phi = k\theta_x x$$

Kar ustreza ravnemu valovanju.

Zaradi zgoraj zamisljenega za opazovanje Fraunhoferjevega uklona ni nujno, da zaslona postavimo zelo daleč za objektivno ravnino ( $R_0 \gg d^2/\lambda$ ). Namesto tega lahko za objektivni zaslona postavimo zbiralno lečo in uklonsko sliko opazujemo v ravnini goriščne ravnini.

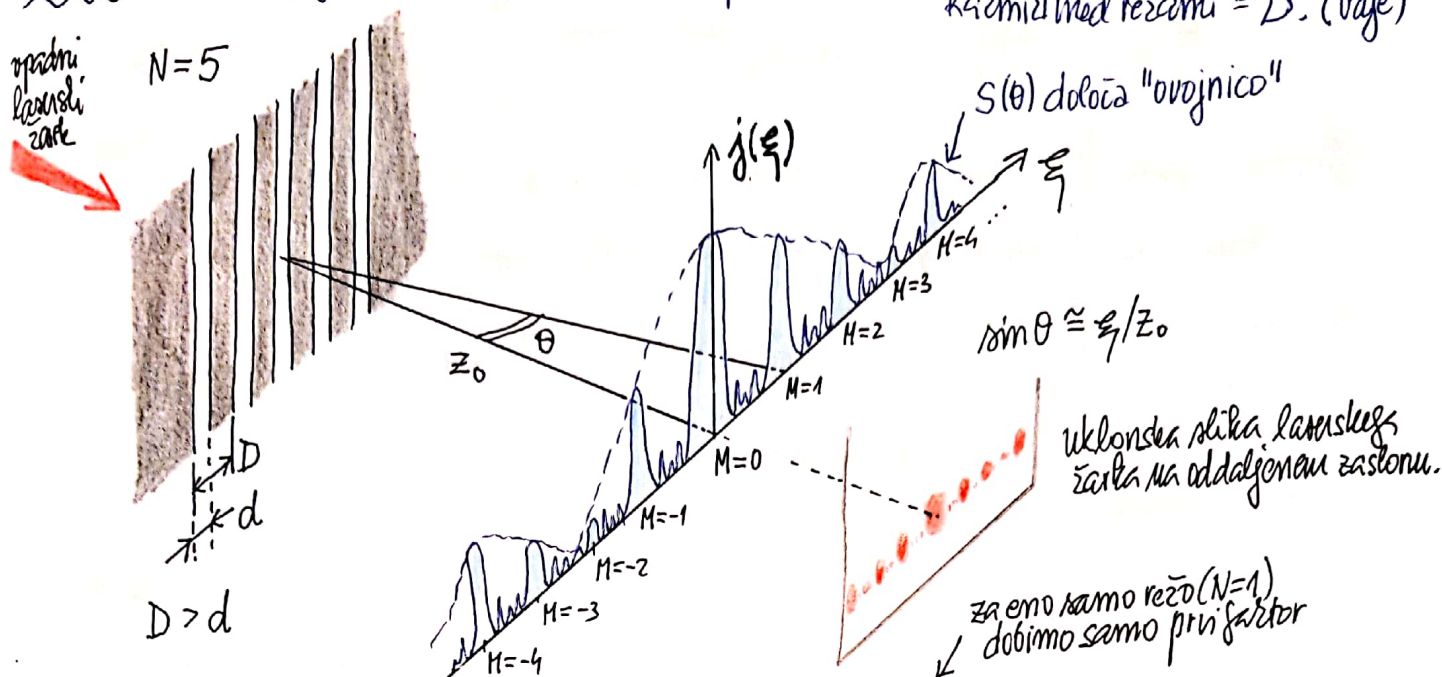


Vemo namreč, da zbiralna leča snop vzporednih žarkov zbira v eni točki v goriščni ravnini leče.



Ta sistem je analogen "napravi" za izračun 2D Fourierove transformacije nekega delno prozornega objekta ali vzorca (pattern recognition).

Primer 1: Fraunhoferjev uklon na sistemu  $N$  vzporednih rež. Širina posamične režice =  $d$ ,  
Razmik med režami =  $D$ . (vaje) (26)



$$\left. \begin{aligned} \delta &= k \cdot d \cdot \sin \theta \\ \Delta &= k \cdot D \cdot \sin \theta \end{aligned} \right\} \Rightarrow j(\theta) = S(\theta) \cdot M(\theta) = j_0 \cdot \left( \frac{\sin \delta/2}{\delta/2} \right)^2 \cdot \left( \frac{\sin(N\Delta/2)}{\sin(\Delta/2)} \right)^2$$

rezultat za  $N=1, 2, 3, \dots$  rež

$S(\theta)$  strukturni faktor  
odvisen od širine posamične režice

$M(\theta)$  mrežni faktor  
odvisen od medrežne razporeditve rež

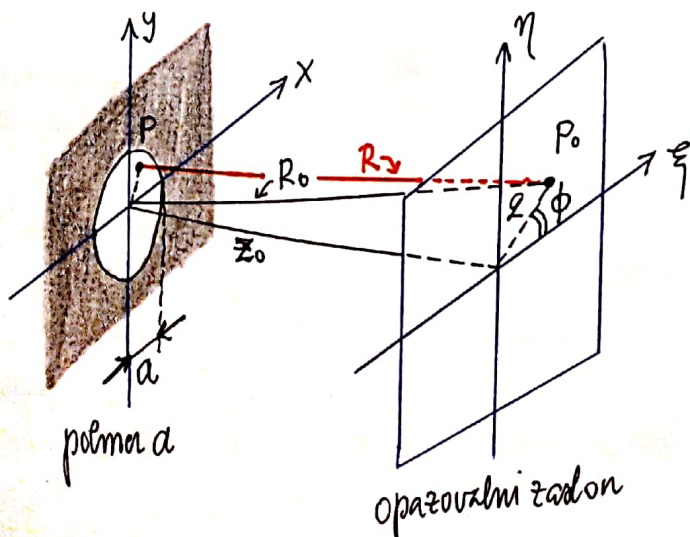
Glavne vrhove v uklonski sliži ( $j(\theta)$ ) lahko dobimo, kadar velja  $(\Delta/2) = M \cdot \pi$  oz.  $\Delta = 2M\pi$ ,  $M = 0, 1, 2, \dots \Rightarrow \sin(\Delta/2) = 0$  v imenovalcu

$$\Delta = k \cdot D \cdot \sin \theta = 2 \cdot M \cdot \pi$$

$$\boxed{D \cdot \sin \theta = \frac{2 \cdot M \cdot \pi \cdot \lambda}{2\pi} = M \cdot \lambda}$$

Med posamičnimi glavnimi maksimumi dobimo še stranske maksimume, t.j.  $(N-2)$ . V našem primeru  $N=5$  imamo torej med glavnimi maksimumi še tri stranske oz. stranske maksimume.

Primer 2: Fraunhoferjev uklon na okrogli reži s polmerom  $a$ :



- lego točke  $P$  v ravnini  $xy$  opišemo v polarnih koordinatah  $\rho$  in  $\varphi$  kot

$$\begin{aligned} x &= \rho \cos \varphi \\ y &= \rho \sin \varphi \end{aligned} \quad P = (x, y)$$

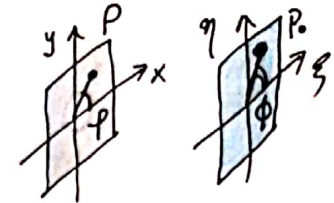
- lego točke  $P_0$  v ravnini  $\xi\eta$  pa v polarnih koordinatah  $\varrho$  in  $\phi$  kot

$$\begin{aligned} \xi &= \varrho \cos \phi \\ \eta &= \varrho \sin \phi \end{aligned} \quad P_0 = (\xi, \eta)$$

- potem izračunamo Fraunhoferjev uklonski integral



$ds = dxdy = \rho d\rho d\varphi$  ploskarni element objektivnega zaslona



$$E(\rho, \phi, z_0) = \frac{i}{\lambda} E_0 \frac{e^{ikR_0}}{R_0} \iint_{00}^{2\pi a} e^{-i\omega_\xi x} e^{-i\omega_\eta y} \rho d\rho d\varphi$$

upoštevamo  $\omega_\xi = (\frac{x}{R_0})k$  in  $\omega_\eta = (\frac{y}{R_0})k \Rightarrow \omega_\xi = k(\frac{\rho}{R_0})\cos\phi$  in  $\omega_\eta = k(\frac{\rho}{R_0})\sin\phi$ ,  $\omega = k(\frac{\rho}{R_0})$

$$\omega_\xi x + \omega_\eta y = \omega \cos\phi \rho \cos\varphi + \omega \sin\phi \rho \sin\varphi = \omega \rho (\cos\phi \cos\varphi + \sin\phi \sin\varphi) = \omega \rho \cos(\varphi - \phi) = \omega \rho \cos(\phi - \varphi)$$

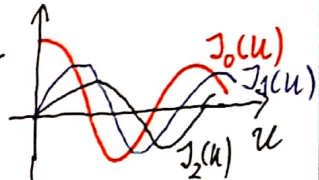
$$E(\rho, \phi, z_0) = \frac{iE_0}{\lambda} \frac{e^{ikR_0}}{R_0} \iint_{00}^{2\pi a} e^{-i\omega \rho \cos(\phi - \varphi)} \rho d\rho d\varphi$$

uvvedemo novo spremenljivko  $\tilde{\varphi} = \varphi - \phi \Rightarrow d\varphi = d\tilde{\varphi}$   
(Ni pomembno od kod začnemo šteti kot  $\varphi$ , pomembna je le razlika med  $\varphi$  in  $\phi$ )

$$E(\rho, \phi, z_0) = \frac{iE_0}{\lambda} \frac{e^{ikR_0}}{R_0} \int_0^{2\pi a} \int_0^{2\pi} e^{-i\omega \rho \cos\tilde{\varphi}} \rho d\rho d\tilde{\varphi}$$

Integralni zapis Besselovih funkcij (F.W. Bessel, GE) prve vrste:

$$J_m(u) = \frac{(i)^{-m}}{2\pi} \int_0^{2\pi} e^{i(mv + u \cos v)} dv \Rightarrow J_0(u) = \frac{1}{2\pi} \int_0^{2\pi} e^{iu \cos v} dv$$



Rekurzijske formule za Besselove funkcije

$$\frac{d}{du}(u^{m+1} J_{m+1}(u)) = u^{m+1} J_m(u) \quad \text{ozirno} \quad \frac{d}{du}(u^m J_m(u)) = u^m J_{m-1}(u) \quad *$$

Te zveze uporabimo pri integriranju.

$$E(\rho, z_0) = \frac{iE_0}{\lambda} \frac{e^{ikR_0}}{R_0} \int_0^a \rho d\rho \int_0^{2\pi} e^{-i\omega \rho \cos\tilde{\varphi}} d\tilde{\varphi} = \left(\frac{2\pi i E_0}{\lambda}\right) \frac{e^{ikR_0}}{R_0} \int_0^a \rho d\rho J_0(\omega \rho) (-1) \frac{\omega^2}{\omega^2}$$

$$\begin{aligned} &\text{vpeljemo } \omega \rho = u, du = \omega \cdot d\rho, \rho \omega = u \\ &= \left(\frac{2\pi i E_0}{\lambda \omega^2}\right) \frac{e^{ikR_0}}{R_0} \int_0^{a\omega} J_0(u) u^1 du \quad \text{uporabimo } * \\ &= \frac{2\pi i E_0}{\omega^2 \lambda} \frac{e^{ikR_0}}{R_0} \left[ u^1 J_1(u) \right]_0^{a\omega} \\ &= \frac{2\pi i E_0}{\omega^2 \lambda} \frac{e^{ikR_0}}{R_0} (a\omega) \cdot J_1(a\omega) \\ &= \frac{2\pi i E_0}{\omega \lambda} \frac{e^{ikR_0}}{R_0} a \cdot J_1(a\omega) \end{aligned}$$

Sedaj vstavimo naš izraz  $\omega = k \cdot (\frac{\rho}{R_0})$  in izraz preidemo v

$$\begin{aligned} E(\rho, z_0) &= \frac{2\pi i}{\lambda} \frac{E_0 R_0}{k \cdot \rho \cdot R_0} e^{ikR_0} \cdot a \cdot J_1(a\omega) \cdot \frac{a}{a} \\ &= E_0 \left( \frac{e^{ikR_0}}{R_0} \right) \left( \frac{i}{\lambda} \right) (\pi a^2) \left[ \frac{2 J_1(ka \rho / R_0)}{(ka \rho / R_0)} \right] = C(\pi a^2) \left[ \frac{2 J_1(ka \rho / R_0)}{(ka \rho / R_0)} \right] \end{aligned}$$

površina reže  $A = \pi a^2$

vpeljemo še  $(\rho/R_0) = \sin\theta$  in dobimo za gostoto enake točke na zaslonu, če privzamemo  $R_0(z, z_0) \approx z_0$ , naslednji končni izraz (ja  $|E|^2$ )



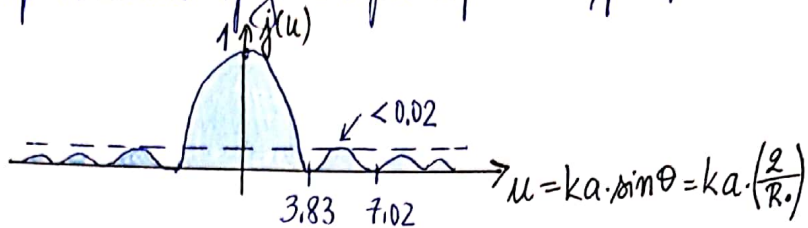
$$I = I_0 \left( \frac{2 J_1(ka \cdot \sin\theta)}{ka \cdot \sin\theta} \right)^2$$

Airyeva funkcija oz. **Airyev disk**.  
(George Biddell AIRY, astronom + matematik, GB)

Zanimajo nas podrobnosti Airyjevega diska: Ker velja  $\lim_{u \rightarrow 0} \left( \frac{J_1(u)}{u} \right) = \frac{1}{2} \Rightarrow j(\theta=0) = j_0$   
 Od tod vidimo da parameter  $j_0$  menigostoto enajstinskega  
 točka v medlini diska. Probi robovom prazninku izlazi, pojema in potem pada na 0, pa spet  
 naraste, itd.

Ničle  $J_1(u) = 0$

$u = 0, u = 3.83, u = 7.02, \dots$

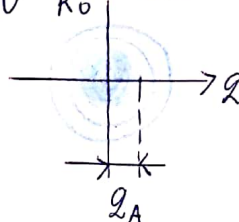


= Svetel krog z vedno nižimi zmanjšanimi obroči.

Zanimaj na polmer notranjega kroga oz. diska:

$$u(q_A) = 3.83 \Rightarrow u = \left( \frac{ka \cdot q_A}{R_0} \right) = \frac{2\pi}{\lambda} \cdot \frac{a \cdot q_A}{R_0} = 3.83 \Rightarrow q_A = \underbrace{\left( \frac{3.83}{\pi} \right)}_{1.22} \left( \frac{\lambda R_0}{2a} \right)$$

$$q_A = 1.22 \left( \frac{\lambda R_0}{2a} \right)$$



## LOČLJIVOST (RESOLUCIJA) OPTIČNIH NAPRAV

Pri napravah na osnovi leče vedno uporabljamo leče z določenim premerom  $D = 2a$ .  
 Na detektor pade le disk svetloba, ki gre blizu leče. Leče torej delujejo kot okrogle  
 slibini zaslonke s polmerom  $a$ .

Če, denimo, preslikujemo oddaljen predmet, nastane slika v goriščni ravnini  $\Rightarrow R_0 = f$ .  
 Na slikarnem detektorju podoben točkasti predmet vidimo kot okrogli disk s  
 polmerom

$$q_A \approx 1.22 \frac{f \cdot \lambda}{D} = 1.22 \cdot \lambda \left( \frac{f}{D} \right) = 0.61 \frac{\lambda}{NA}$$

razmaje med polmerom leče ( $D/2$ ) in goriščno razdaljo  $f$  imenujemo numerična apertura

$$NA = \left( \frac{D/2}{f} \right) \leq 1$$

Če imamo dve oddaljeni točkasti telesi, bo v slikarni ravnini vsaki izmed njih ustvarilo  
 Airyev disk. Ko se bosta ta diska začela prekrivati, telesu ne bomo mogli več  
 ločiti med sabo.

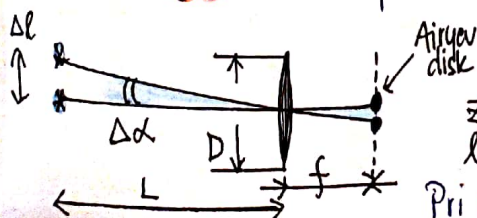


Rayleighjev kriterij pravi, da bomo objekte na sliki ločili med sabo,  
 če bo veljalo

$$(\Delta q_A) \geq 1.22 \cdot \left( \frac{\lambda}{NA} \right) \approx \lambda$$

To pomeni, da je minimalna razlika zornih kotov  $\Delta \alpha_{\min} = \frac{\Delta q_{A\min}}{f} \approx 1.22 \frac{\lambda}{D}$

Kotna resolucija teleskopov je tem večja,  
 čim manjša je  $\lambda$  in tem večji je  $D$ .



Z teleskopom  $D = 5 \text{ m}$  na Zemlji in  $\lambda = 500 \text{ nm}$  lahko na Luni  $L = 384000 \text{ km}$   
 ločimo podrobnosti  $\Delta L_{\min} = \left( \frac{\lambda}{D} \right) \cdot L \approx 40 \text{ m}$

Pri mikroskopih je podobno. Tam je predmet blizu goriščne ravnine  $\Rightarrow \Delta L_{\min} \approx \lambda$